

А. А. Каминский, Л. А. Кипнис, М. В. Дудик

## О боковой зоне предразрушения в вершине трещины на границе раздела различных упругих сред

(Представлено академиком НАН Украины В. Д. Кубенко)

*The calculation of an initial pre-fracture zone near the end of a crack in a piecewise homogeneous isotropic elastic body under plane strain by the Wiener–Hopf method is presented. The crack is located at the interface of media. The pre-fracture zone is modeled by the direct line of the normal displacement rupture emerging from the end of the crack. The dependences of the pre-fracture zone length and the slope angle on the load and other parameters of the problem are investigated.*

В условиях плоской деформации рассматривается задача о расчете начальной зоны предразрушения вблизи конца трещины в кусочно-однородном изотропном теле, расположенной на границе раздела двух различных однородных сред с модулями Юнга  $E_1$ ,  $E_2$  и коэффициентами Пуассона  $\nu_1$ ,  $\nu_2$ . Зона предразрушения моделируется исходящей из конца трещины под углом  $\alpha$  к границе раздела сред прямой линией разрыва нормального смещения, на которой нормальное напряжение равно заданной постоянной материала  $\sigma$ . Постоянная  $\sigma$  представляет собой среднее по длине нормальное напряжение в зоне предразрушения и должна определяться экспериментально по методике, изложенной в [1].

Поскольку длина  $l$  линии разрыва значительно меньше длины  $L$  трещины и всех других размеров тела, а напряженно-деформированное состояние исследуется лишь вблизи линии разрыва, в качестве решения соответствующей статической задачи теории упругости будем использовать решение задачи для кусочно-однородной изотропной упругой плоскости, содержащей полубесконечную трещину на прямолинейной границе раздела сред и исходящую из ее конца линию разрыва (рис. 1). На рис. 1 линия разрыва расположена в верхней полуплоскости, так как предполагается, что материал тела с упругими постоянными  $E_1$ ,  $\nu_1$  является более хрупким, чем материал второго тела. На бесконечности главные члены разложений напряжений в асимптотические ряды представляют собой удовлетворяющее условию затухания напряжений асимптотически наибольшее решение аналогичной задачи без линии разрыва. Это решение [2] имеет осциллирующий характер вблизи конца трещины и содержит две произвольные постоянные  $K_I$ ,  $K_{II}$  — коэффициенты интенсивности напряжений, которые характеризуют интенсивность внешнего поля и считаются заданными по условию.

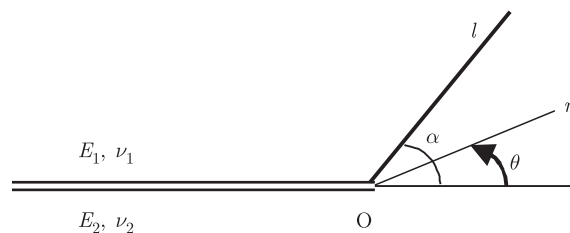


Рис. 1

В [3] в аналогичной постановке в рамках модели с линией разрыва касательного смещения решена задача о расчете начальной зоны предразрушения вблизи конца трещины в кусочно-однородном изотропном упругопластическом теле, расположенной на границе раздела двух различных сред.

Граничные условия задачи имеют следующий вид:

$$\begin{aligned} \theta = 0, \quad \langle \sigma_\theta \rangle = \langle \tau_{r\theta} \rangle = 0, \quad \langle u_\theta \rangle = \langle u_r \rangle = 0; \\ \theta = \alpha, \quad \langle \sigma_\theta \rangle = \langle \tau_{r\theta} \rangle = 0, \quad \langle u_r \rangle = 0; \quad \theta = \pm\pi, \quad \sigma_\theta = \tau_{r\theta} = 0; \end{aligned} \quad (1)$$

$$\theta = \alpha, \quad r < l, \quad \sigma_\theta = \sigma; \quad \theta = \alpha, \quad r > l, \quad \langle u_\theta \rangle = 0; \quad (2)$$

$$\theta = \alpha, \quad r \rightarrow \infty, \quad \sigma_\theta = F(\alpha)r^{-\frac{1}{2}+i\omega} + \overline{F(\alpha)}r^{-\frac{1}{2}-i\omega} + o(1/r);$$

$$\omega = \frac{1}{2\pi} \ln \frac{e + \chi_1}{1 + e\chi_2}, \quad e = \frac{1 + \nu_2}{1 + \nu_1} e_0, \quad e_0 = \frac{E_1}{E_2}, \quad \chi_{1(2)} = 3 - 4\nu_{1(2)};$$

$$F(\alpha) = e' \cdot (K_{II} - iK_I)L^{-i\omega} F_1(\alpha), \quad e' = \frac{\sqrt{(e + \chi_1)(1 + e\chi_2)}}{2\sqrt{2\pi}[(e + \chi_1)^2 - (1 + e\chi_2)^2]},$$

$$F_1(\alpha) = -[a_1 \sin(\lambda + 2)\alpha + a_2 \sin \lambda\alpha + a_3 \cos(\lambda + 2)\alpha + a_4 \cos \lambda\alpha]_{\lambda = -\frac{1}{2} + i\omega},$$

$$a_1 = \frac{e + \chi_1}{2} - 1 - e\chi_2 + \left( e + \chi_1 - \frac{1 + e\chi_2}{2} \right) \operatorname{ch} 2\pi\omega + i\omega[e + \chi_1 - (1 + e\chi_2) \operatorname{ch} 2\pi\omega],$$

$$a_2 = (3/2 + i\omega)[(1 + e\chi_2) \operatorname{ch} 2\pi\omega - e - \chi_1],$$

$$a_3 = -\omega(1 + e\chi_2) \operatorname{sh} 2\pi\omega - i(e + \chi_1 - (1 + e\chi_2)/2) \operatorname{sh} 2\pi\omega,$$

$$a_4 = (\omega - 3i/2)(1 + e\chi_2) \operatorname{sh} 2\pi\omega. \quad (3)$$

Здесь  $\langle f \rangle$  — скачок величины  $f$ ;  $\overline{W}$  — число, комплексно сопряженное  $W$ .

Вблизи конца линии разрыва в силу общих положений о поведении напряжений в окрестностях угловых точек упругих тел [4] реализуется асимптотика, представляющая собой удовлетворяющее условию непрерывности смещений асимптотически наибольшее решение однородной задачи теории упругости для плоскости, содержащей полубесконечную прямую линию разрыва. В частности, справедливы следующие асимптотики:

$$\theta = \alpha, \quad r \rightarrow l + 0, \quad \sigma_\theta \sim \frac{K}{\sqrt{2\pi(r-l)}};$$

$$\theta = \alpha, \quad r \rightarrow l - 0, \quad \left\langle \frac{\partial u_\theta}{\partial r} \right\rangle \sim -\frac{4(1 - \nu_1^2)}{E_1} \frac{K}{\sqrt{2\pi(l-r)}}$$

( $K$  — определяемый в ходе решения коэффициент интенсивности напряжений в конце линии разрыва).

Решение сформулированной краевой задачи теории упругости представим в виде суммы решений следующих двух задач. Первая отличается от нее тем, что в (2) вместо первого условия примем

$$\begin{aligned} \theta = \alpha, \quad r < l, \\ \sigma_\theta = \sigma - F(\alpha)r^{-\frac{1}{2}+i\omega} - \overline{F(\alpha)}r^{-\frac{1}{2}-i\omega}, \end{aligned} \quad (4)$$

а на бесконечности напряжения затухают как  $o(1/r)$  (в (3) отсутствуют первые два слагаемых). Вторая задача — аналогичная задача без линии разрыва, решение которой известно, поэтому достаточно найти решение первой задачи.

Применив преобразование Меллина к уравнениям равновесия, условию совместности деформаций, закону Гука, условиям (1) и учитывая второе условие (2) и условие (4), приходим к функциональному уравнению Винера–Хопфа первой задачи:

$$\begin{aligned} \Phi^+(p) + \frac{\sigma}{p+1} + \frac{Z}{p+1/2+i\omega} + \frac{\bar{Z}}{p+1/2-i\omega} &= -\operatorname{tg} p\pi \cdot G(p)\Phi^-(p), \\ \Phi^+(p) &= \int_1^\infty \sigma_\theta(\rho l, \alpha) \rho^p d\rho, \quad \Phi^-(p) = \frac{E_1}{4(1-\nu_1^2)} \int_0^1 \left\langle \frac{\partial u_\theta}{\partial r} \right\rangle \Big|_{\substack{r=\rho l \\ \theta=\alpha}} \rho^p d\rho, \\ Z &= -F(\alpha)l^{-\frac{1}{2}+i\omega}, \quad G(p) = -\frac{D_1(p) \cos p\pi}{D_0(p) \sin^2 p\pi}, \\ D_0(p) &= 2(e + \chi_1)(1 + e\chi_2) \cos 2p\pi + (e + \chi_1)^2 + (1 + e\chi_2)^2, \\ D_1(p) &= (1 + e\chi_2)^2 \Delta_1(p) - 2(1 - e)(1 + e\chi_2) \Delta_2(p) + 2(e + \chi_1)(1 + e\chi_2) \Delta_3(p) - \\ &\quad - 2(1 - e)(e + \chi_1) \Delta_4(p) - (e + \chi_1)^2 \Delta_5(p), \\ \Delta_1(p) &= p \sin 2\alpha \sin p(\pi - 2\alpha) + 2p^2 \sin^2 \alpha \cos p(\pi - 2\alpha) - 2 \sin p\alpha \sin p(\pi - \alpha), \\ \Delta_2(p) &= p^2 \sin^2 \alpha \cos p(3\pi - 2\alpha) + p \sin 2\alpha \cos p(2\pi - \alpha) \sin p(\pi - \alpha) + \cos p\pi \sin^2 p(\pi - \alpha), \\ \Delta_3(p) &= p^2 \sin^2 \alpha \cos p(\pi + 2\alpha) - p \sin 2\alpha \sin p\alpha \cos p(\pi + \alpha) - \\ &\quad - \sin p(\pi - \alpha) [\sin p(2\pi + \alpha) - \sin p\pi \cos p(\pi - \alpha)], \\ \Delta_4(p) &= p^2 \sin^2 \alpha \cos p(\pi - 2\alpha) + p \sin 2\alpha \cos p\alpha \sin p(\pi - \alpha) + \cos p\pi \sin^2 p(\pi - \alpha), \\ \Delta_5(p) &= \sin p\pi [\sin 2p(\pi - \alpha) + p \sin 2\alpha]; \end{aligned}$$

$-\delta_1 < \operatorname{Re} p < \delta_2$ ,  $\delta_1$  и  $\delta_2$  — достаточно малые положительные числа.

Из решения этого функционального уравнения находим коэффициент  $K$ . Приравнявая его к нулю, приходим к уравнению, служащему для определения длины зоны предразрушения:

$$\begin{aligned} \frac{\tilde{\sigma} \sin(\omega \ln x + \psi + \xi + \varphi)}{\sqrt{x}} &= C, \\ x = \frac{l}{L}, \quad \psi &= \arg(F_1(\alpha)), \quad \xi = \arg\left(\frac{K^+(-1/2 - i\omega)}{(1/2 + i\omega)G^+(-1/2 - i\omega)}\right), \quad \varphi = \operatorname{arctg} \frac{K_{II}}{K_I}, \\ C &= \frac{K^+(-1)}{2e'G^+(-1)|F_1(\alpha)|} \left| \frac{(1/2 + i\omega)G^+(-1/2 - i\omega)}{K^+(-1/2 - i\omega)} \right|, \quad \tilde{\sigma} = \frac{\sqrt{K_I^2 + K_{II}^2}}{\sigma\sqrt{L}}; \\ G^+(p) &= \exp\left[\frac{1}{2\pi i} \int_{-i\infty}^{i\infty} \frac{\ln G(z)}{z-p} dz\right] \quad (\operatorname{Re} p < 0), \quad K^+(p) = \frac{\Gamma(1-p)}{\Gamma(1/2-p)} \end{aligned} \tag{5}$$

( $\Gamma(z)$  — гамма-функция).

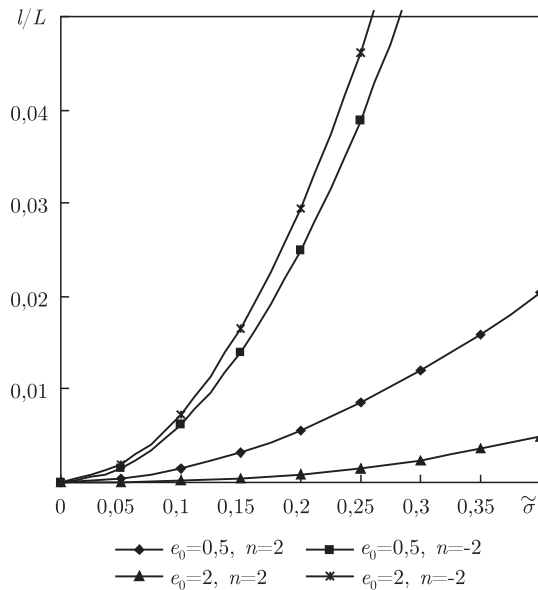


Рис. 2.

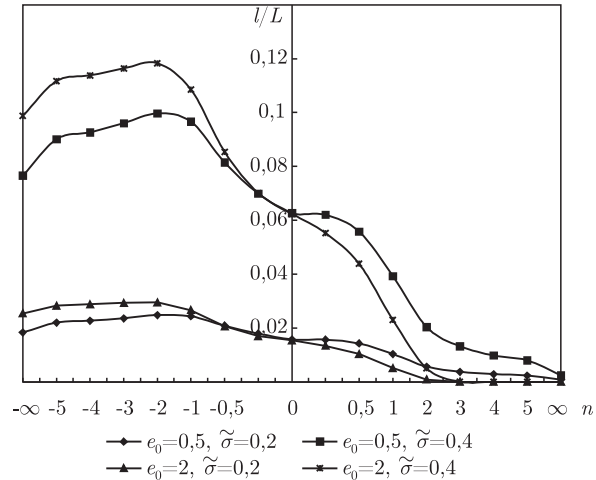


Рис. 3.

Наибольший корень полученного уравнения определяет длину линии разрыва при заданных посредством безразмерного параметра  $\tilde{\sigma}$  внешней нагрузке, не зависящем от внешней нагрузки отношении  $n = K_{II}/K_I$ , угле  $\alpha$  и упругих характеристиках сред. Для определения угла между линией разрыва и границей раздела сред используется условие максимума длины  $l(\alpha)$  линии разрыва.

На рис. 2 представлен график зависимости длины линии разрыва от нагрузки  $\tilde{\sigma}$ . Значения коэффициентов Пуассона при расчетах принимались равными  $\nu_1 = \nu_2 = 0,333$ ; более детальный анализ показывает, что их изменение не влияет на качественные выводы, сформулированные ниже. Как и следовало ожидать, длина линии разрыва возрастает с увеличением модуля нагрузки. Если  $e_0$  увеличивается, то при  $n > 0$  длина линии разрыва уменьшается, а при  $n \leq 0$  она увеличивается.

Угол наклона линии разрыва слабо зависит от модуля нагрузки. При этом, с увеличением модуля нагрузки угол  $\alpha$  уменьшается, если  $e_0 < 1$ , и увеличивается, если  $e_0 > 1$ . С увеличением  $e_0$  угол наклона уменьшается. Отдельные значения угла при различных параметрах задачи приведены в табл. 1.

Зависимость  $l(n)$  при заданных  $e_0$  и  $\tilde{\sigma}$  представлена на рис. 3. Значения  $l$  достаточно велики при отрицательных  $n$ , причем при  $n$ , близких к  $-2$ , функция  $l(n)$  принимает наибольшее значение. При положительных  $n$  функция  $l(n)$  убывает и стремится к нулю при  $n \rightarrow \infty$ . Угол  $\alpha$  уменьшается с увеличением  $n$  и, начиная с некоторого  $n > 0$ , становится

Таблица 1

$e_0$	$\tilde{\sigma}$	$\alpha^0$					
		$n = -\infty$	$n = -2$	$n = -1$	$n = -0,5$	$n = 0$	$n = 0,5$
0,5	0,2	76	66	57	45	10	0
	0,4	75	65	56	43	6	0
2	0,2	69	60	51	36	0	0
	0,4	70	61	52	38	1	0

и остается равным нулю. Таким образом, при  $n > 0$  зона предразрушения в конце трещины расположена в области, прилегающей к границе раздела сред.

1. Каминский А. А., Гаерулов Д. А. Длительное разрушение полимерных и композитных материалов с трещинами. – Киев: Наук. думка, 1992. – 248 с.
2. Кортен Х. Т. Механика разрушения композитов. Разрушение. Т. 7, ч. 1. – Москва: Мир, 1976. – С. 367–471.
3. Kaminsky A. A., Dudik M. V., Kipnis L. A. The calculation of side prefracture zone at the end of the crack on the interface of different media // Intern. Appl. Mech. – 2006. – 42, No 2. – P. 14–23.
4. Партон В. З., Перлин П. И. Методы математической теории упругости. – Москва: Наука, 1981. – 688 с.

*Институт механики им. С. П. Тимошенко  
НАН Украины, Киев  
Уманский государственный  
педагогический университет*

*Поступило в редакцию 12.05.2006*

УДК 629.7.054

© 2007

**В. М. Мельник**

## **Хвильові процеси в підвісі гіроскопа з довільним окресленням лінії меридіана поплавця**

*(Представлено академіком НАН України В. М. Кошляковим)*

*The theory of the elastic interaction of the suspension of a gyroscope with an external wave perturbation under an arbitrary geometry of the meridian line form is constructed. The ways to compensate this influence with passive methods are presented.*

Реалізація ідеї використання рідинностатичного підвісу в інерціальних навігаційних системах і пілотажному обладнанні [1, 2] дозволила значно зменшити похибки гіроскопічних приладів, практично усунувши сухе тертя на вихідній осі. Між іншим, вирішені інші питання поліпшення динамічних властивостей — ударо- та вібростійкість, бажаний коефіцієнт демпфірування в інтегруючому гіроскопі тощо. Нарешті стало можливим використання дво-ступеневих гіроскопів як чутливих елементів високоточних гіростабілізованих платформ.

Стримкий розвиток ракетно-космічної техніки та досягнення практичної космонавтики змусили, проте, істотно переглянути наявні відомості щодо відповідності паспортних характеристик поплавкових гіроскопів діючим реаліям за натурних умов [3, 4]. Мова йдеться про вплив на прилади інерціальної навігації акустичного випромінювання з боку реактивних двигунів.

Відомо, що в акустичні коливання трансформується близько  $10^{-4}$  потужності рушійних установок. Наприклад, для одного літака стратегічної бомбардувальної авіації, а також літака тактичної і палубної авіації вона становить  $1 \dots 4$  та  $0,8 \dots 1,6$  кВт відповідно. Рівень акустичного тиску біля реактивного струменя РН може сягати 180 дБ і вище. Природно,